

20853

BURGUILLOS DEL CERRO

4

LEYENDA

The figure is a geological cross-section diagram. The vertical axis is divided into three main horizontal zones:

- CAMBRIICO**: This zone is further subdivided into **MEDIO** (top) and **INFERIOR** (bottom).
- PROTEROZOICO**: This zone is at the bottom.
- PRECAMBRIICO**: This zone is at the very bottom.

Structural features shown include:

- CA₂**, **CA_{1,2}**, **CA₅**, **CA_P**, **CA_P**, **CA₁**, **CA₄**, **CA_M**, **CA₁**, **CA₅**, **CA_V**, **CA_V**, **PC₂**, and **PC_M**.
- q** and **c** are also labeled.
- Dashed lines represent contacts or boundaries between different geological units.

CA₂: Vulcanitas ácidas a intermedias con algunas
 intercalaciones de pizarras
 CA₂: Pizarras verdes muy puros
 CA₁₋₂: Areniscas cuarzofeldespáticas con algunos tramos
 intercalados de esquistos sevícíticos y pizarras
 CA₁: Pizarras areniscosas y areniscas
 CA₁: Pizarras verdes y rojizo-vinosas
 CA_{VSP}: Serie vulcano-sedimentaria: esquistos, pizarras, tobas
 ácidas y ortoanfibolitas
 C : Niveles carbonatados
 CA_C: Calizas y calcoesquistos
 CA_M: Mármoles, mármoles brucíticos, oficalcias
 CA_A: Arcosas, areniscas feldespáticas, grauvacas y pizarras
 de tonos gris parduzcos y violáceos
 CA_M: Micaesquistos con cordierita
 CA_{eg}: Conglomerados poligénicos
 CA_V: Microconglomerado "gneísmico" de facies porfiroida
 PC₂: Esquistos, grauvacas, pizarras
 q : Cuarcitas negras
 PC_M: Micaesquistos con cordierita

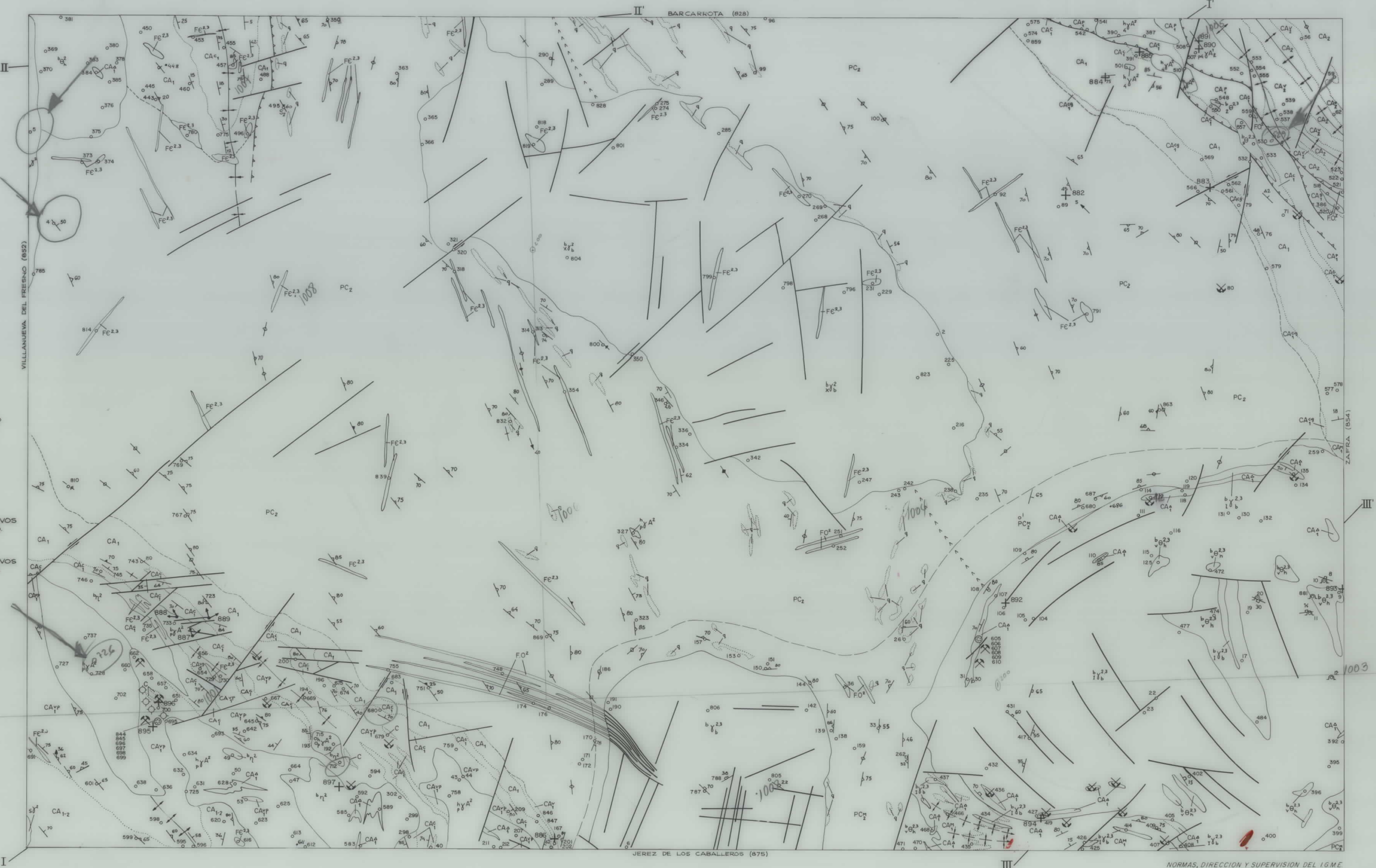
ROCAS PLUTONICAS

$b_x \delta_b^2$	$b_I \delta_b^{2,3}$	$b_v \Theta_h^{2,3}$
$b \delta_b^{2,3}$	$x \delta^2$	$b \Theta_h^2$
$b_p \delta^A^2$	$b \eta^2$	$5 \delta^2$
$b_4 \delta^{\Delta^2}$	$b_z \Theta^{2,5}_2$	$b_4 \delta_E^{A_E^1}$

$b\gamma_0^{2,3}$	Macizo de Salvatierra : granito biotítico tectonizado	
$I\delta_0^{2,3}$	Granitos, granodioritas, tonalitas, monzonitas, dioritas, etc.	MACIZO COMPLEJO DE BURGUILLOS
$b\Theta_0^{2,3}$	Gabros y noritas	
$b\gamma_0^{2,3}$	Stock de Brovales : granito biotítico	
$x\delta^2$	Granitos de grano grueso, cataclástico	
$b\Theta_0^2$	Gabros y dioritas con algunas diferenciaciones de cuarzosienita de feldespato alcalino	MACIZO DE BARCARROTA
$b\gamma_0^{A^2}$	Leucogranitos alcalinos porfídicos con tendencia granofídica	
$b\eta^2$	Dioritas y gabros	MACIZOS INTRUSIVOS DEL DOMINIO SO
$s\delta^2$	Microgranitos de tendencia alcalina	
$h\delta_0^2$	Leucomicrogranitos alcalinos	
$b\Theta_0^{2,3}$	Gabros epidioritizados	MACIZOS INTRUSIVOS DEL DOMINIO NE
$b\gamma_0^{A^2}$	Microgranito alcalino porfídico con aegirina y riobequita de carácter subintrusivo antiercánico	
$F\epsilon^{2,3}$	Diiques y apófisis de composición diabásica	
$F.O^2$	Rocas filonianas de composición variable	

ROCAS FILONIANAS

$FC^2,5$	FO^2
----------	--------



NORMAS DIRECCIÓN Y SUPERVISIÓN DEL IGME

GUITAR

601 PUNTO DE TOMA DE MUESTRAS
888 FOTOGRAFIA PANORAMICA Y ANGULO ABAJO
897 FOTOGRAFIA PUNTUAL

Escala 1:50.000

1000 m. 0 1 2 3 4 5 Km